

ДВУМЕРНЫЙ ЭЛЕКТРОННЫЙ ГАЗ В ИНВЕРСИОННЫХ СЛОЯХ HgTe

Дерябина Т. И., Кулаев Г. И., Раданцев В. Ф.

Методом емкостной спектроскопии в квантующих магнитных полях H исследован двумерный газ поверхностных электронов в HgTe. Измеренные параметры заселенности и циклотронные массы адекватно описываются в рамках квазиклассического приближения. Обнаружено снятие спинового вырождения спектра при $H=0$ за счет спин-орбитального взаимодействия (СОВ). Величина расщепления на уровне Ферми составляет около 30 % от значения энергии Ферми и при концентрации носителей в подзонах $n_i \sim 3 \cdot 10^{12} \text{ см}^{-2}$ достигает 40 мэВ. Проводится сопоставление с изученными ранее приповерхностными слоями в $\text{Hg}_{1-x}\text{Cd}_x\text{Te}$.

Двумерный ($2D$) электронный газ в приповерхностных слоях $\text{Hg}_{1-x}\text{Cd}_x\text{Te}$ с $x=0.2-0.3$ активно исследуется в последнее время гальваномагнитными, емкостными и оптическими методами [1-3]. Использование метода емкостной спектроскопии в квантующих магнитных полях позволило распространить исследования в область меньших x вплоть до значений $x=0.1$, соответствующие области инверсного спектра с отрицательной щелью $\epsilon_g = E(\Gamma_6) - E(\Gamma_8) \approx -100 \text{ мэВ}$ [3, 4]. Однако данные о параметрах двумерных подзон в ряду твердых растворов $\text{Hg}_{1-x}\text{Cd}_x\text{Te}$ не могут, на наш взгляд, считаться полными без изучения приповерхностных слоев наиболее типичного представителя бесщелевых полупроводников — HgTe.

В настоящей работе представлены результаты такого изучения в инверсионных слоях p -HgTe с $N_A - N_D \sim 5 \cdot 10^{15} \text{ см}^{-3}$. Как показывает анализ температурных и магнитополевых зависимостей кинетических коэффициентов, уровень Ферми в исследованном материале при $T < 15 \text{ К}$ фиксирован на акцепторном уровне $E_F = E_A = 2 \text{ мэВ}$ (объемная концентрация электронов $n_b = 1.5 \cdot 10^{15} \text{ см}^{-3}$), а из соотношения электронной и дырочной концентраций следует, что зона проводимости и валентная зона перекрываются (эффективное перекрытие зон $\sim 1.5 \text{ мэВ}$).

Параметры подзон размерного квантования определялись из анализа магнитоосцилляций емкости структур Pb—анодный окисел—HgTe. Вольтфараидные характеристики (ВФХ) исследованных структур представлены на рис. 1, a. В квантующих магнитных полях $H > 10 \text{ кЭ}$ на ВФХ отчетливо проявляются определяемые перпендикулярной к границе раздела компонентой $H_\perp = H \cos \alpha$ особенности в плотности состояний, связанные с магнитным квантованием спектра $2D$ -подзон. Наблюдаемый монотонный сдвиг ВФХ (по оси емкостей C) обусловлен магнитосопротивлением объема HgTe и находится в хорошем количественном согласии с возрастанием последовательного сопротивления R_n [зависимости $R_n(H)$ снимались в конце измерений после пробоя исследуемого МОП конденсатора, приводившего, как правило, к формированию омического контакта]. При частотах тестирующего сигнала $f \sim 10^4 \text{ Гц}$ монотонный сдвиг ВФХ практически отсутствует (представленные на рисунке ВФХ измерены при частоте $f = 10^6 \text{ Гц}$, обеспечивающей наибольшее разрешение по емкости). Наличие монотонной зависимости $C(H)$ заметно затрудняет исследование осцилляций $C(H)$, особенно в области слабых полей, и для определения поверхностью плотности носителей n_i в подзонах размерного квантования измерялись зависимости $\frac{dC}{dV_g}(H)$.

На всех исследованных структурах (вне зависимости от напряжения плоских зон $V_{ss} = -2 \div -0.5$ В) относящиеся к основной подзоне осцилляции $C(H)$ наблюдаются лишь в области напряжений $V_g > V_m$ (V_m — напряжение, близкое к значению, соответствующему минимуму ВФХ), тогда как напряжение отсечки V_{so} зависимостей $n_0(V_g)$ (рис. 1) на 0.3—0.4 В меньше V_m , при этом

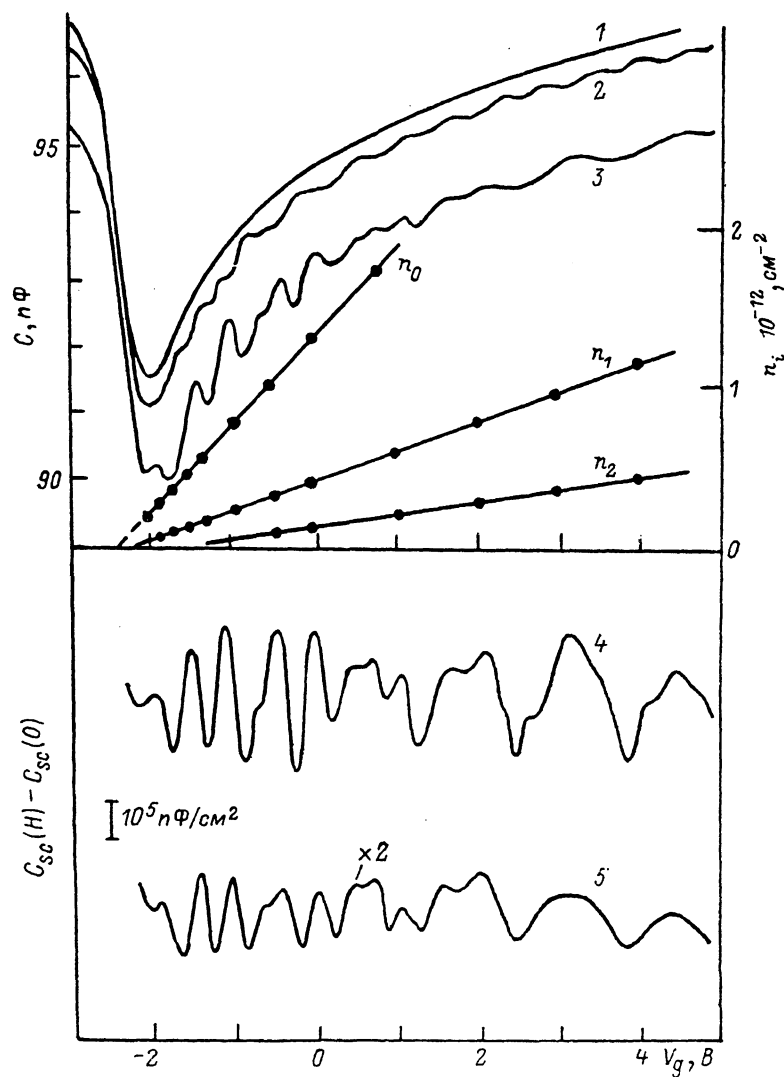


Рис. 1. Вольтфарадные характеристики, заселенности подзон и магнитоосцилляции емкости области пространственного заряда.

H , кЭ: 1 — 0, 2 — 25, 3 — 50. Т, К: 1—4 — 4.2, 5 — 32.5.

наименьшее наблюдаемое значение $n_0 = n_0(V_m)$ на порядок больше погрешности измерения $n_0 \sim 2 \cdot 10^{10} \text{ см}^{-2}$. Отсутствие осцилляций с периодами, соответствующими концентрациям, меньшим $n_0(V_m)$, не может быть связано с существованием порогового периода осцилляций в материалах с вырожденным электронным газом в объеме [3, 5], поскольку $n_0(V_m) \approx 2 \cdot 10^{11} \text{ см}^{-2}$ на порядок больше значения [3] $n_i = (9\pi n_b^2/8)^{1/3} = 2 \cdot 10^{10} \text{ см}^{-2}$, соответствующего приведенной выше объемной концентрации электронов. Кроме того, в рамках этого механизма пороговые периоды осцилляций для различных подзон одинаковы, в то время как экспериментально для возбужденных подзон наблюдаются осцилляции с периодами, соответствующими $n_i \sim 5 \cdot 10^{10} \text{ см}^{-2}$, что много меньше порогового значения для основной подзоны. Причина отсутствия осцилляций или их резкого тления при $V_{so} < V_g < V_m$ остается неясной.

Ввиду существенной непараболичности зоны проводимости в узкощелевидных полупроводниках восстановление энергетического спектра размерно-квантованных подзон не может быть основано только на измерениях заселенности подзон, а требует экспериментального определения циклотронных масс m_{ci} . С этой целью исследовались температурные зависимости магнитоосцилляций емкости

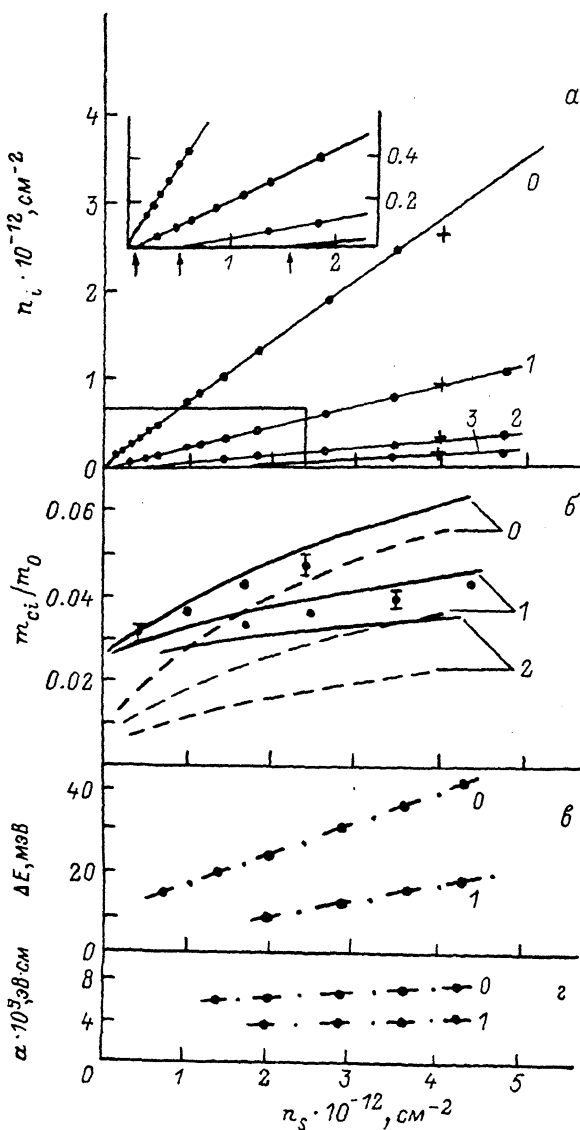


Рис. 2. Заселенности подзон (α), циклотронные массы (β), параметр спин-орбитального взаимодействия α (γ) и энергетическое расщепление спектра на уровне Ферми (γ) в зависимости от поверхностной плотности носителей.

Точки — эксперимент, сплошные линии — квазиклассический расчет, кресты и штриховые линии — УР аппроксимация [1]. Стрелками указаны расчетные старты подзон.

области пространственного заряда $C_{so} = C_{ox} [C/(C_{ox} - C)]$ (здесь C_{ox} — геометрическая емкость диэлектрика, C — измеряемая емкость структуры). ВФХ преобразовывались в зависимости $C_{so}(V_g)$, а для выделения осцилляционной составляющей для каждой температуры из зависимостей $C_{so}(V_g)$ в магнитном поле вычитались зависимости $C_{so}(V_g)$ при $H=0$ (рис. 1). Использование такой процедуры в отличие от традиционного исследования температурных зависимостей осцилляционных кривых $C(H)$ позволяет сразу получить информацию

о концентрационной зависимости m_{ci} . Распределение носителей по подзонам и циклотронные массы представлены на рис. 2, а, б в зависимости от полной поверхностной плотности носителей $n_s = \sum_i n_i \approx \frac{C_{ox}}{Se} (V_g - V_{so} - \frac{\mu_s - \mu_b}{e}) (\mu_s, \mu_b -$

соответственно поверхностный и объемный химические потенциалы, S — площадь структуры). Там же приведены теоретические зависимости $n_i (n_s)$, $m_{ci} (n_s)$, рассчитанные подобно [4] в рамках квазиклассического подхода с использованием двухзонного кейновского приближения и с учетом перекрытия зон. Как и в случае $Hg_{1-x}Cd_xTe$, квазиклассическая теория адекватно описывает параметры двумерных подзон инверсионных слоев в $HgTe$.

Ранее [4, 6] нами было показано, что в слабо легированных образцах $Hg_{1-x}Cd_xTe$ с $|\varepsilon_g| < 0.1$ эВ параметры подзон размерного квантования уже при $n_s > (2 \div 5) \cdot 10^{11} \text{ см}^{-2}$ не зависят от состава и определяются универсальными для всего класса кейновских полупроводников соотношениями [псевдоультраполятивистский (УР) предел $\mu_s \gg \varepsilon_g/2$]. В исследованных инверсионных слоях $HgTe$, как видно из рис. 2, УР приближение [6] неплохо описывает распределение носителей по подзонам, но не может быть использовано для расчета циклотронных масс. Неадекватность УР подхода связана с тем, что практически во всем актуальном диапазоне $n_s < 10^{13} \text{ см}^{-2}$ условие $\mu_s \gg \varepsilon_g/2$ из-за большого значения ε_g в $HgTe$ не выполняется. Это, однако, практически не отражается на зависимостях $n_i (n_s)$, поскольку поправка первого порядка по ε_g/μ_s к $n_i / \sum_i n_i$, как можно показать, равна нулю.

Наряду с существенной непарараболичностью спектра характерной чертой квазидвумерных систем в узкощелевых полупроводниках, как это было недавно экспериментально показано [7], является сильное спиновое расщепление спектра при $H=0$ за счет спин-орбитального взаимодействия. В исследованных структурах, как и в случае $Hg_{1-x}Cd_xTe$, снятие спинового вырождения проявляется в биениях магнитоосцилляций емкости $C(H)$.¹ Основываясь на результатах работы [7], коэффициент α_i при линейном по квазиволновому вектору члене в законе дисперсии

$$E_i^\pm = \sqrt{\hbar^2 k_i^2 s^2 + m_i^2 s^4 \pm 2\alpha_i k_i m_i s^2} - m_i s^2 \quad (1)$$

[здесь m_i — эффективная масса на дне i -й 2D-подзоны, $s = (\varepsilon_g/2m_n)^{1/2}$ — кейновская скорость] можно определить из периодов осцилляций Δ_i и периодов биений по обратному магнитному полю Δ_b :

$$\alpha_i = \frac{\hbar^2 \sqrt{\pi n_i}}{2m_i \sqrt{2}} \frac{\Delta_i}{\Delta_b}. \quad (2)$$

Фигурирующая в (2) эффективная масса m_i определялась в двухзонной аппроксимации из циклотронных масс

$$m_i = \sqrt{m_{ci}^2 - 2\pi n_i \frac{\hbar^2}{s^2}}.$$

Параметры СОВ α_i и спиновое расщепление спектра при $H=0$

$$\Delta E_i = E_i^+ - E_i^- = \frac{2m_i s^2 \alpha_i \left(1 + \frac{2m_i s^2}{E_i}\right)^{1/2}}{s \hbar \left(1 + \frac{m_i s^2}{E_i}\right)} \quad (3)$$

вблизи энергии Ферми $E_i = E_F$ приведены для двух первых подзон на рис. 2. Днергетическое расщепление ΔE в исследованном диапазоне концентраций

¹ Биения проявляются и в осцилляциях $\Delta C(V_g)$ (см. особенности в осцилляциях при $V_g = -0.65$ и $+0.55$ В на рис. 1), однако ввиду зависимости параметров спектра от n_s определение параметров спинового расщепления из осцилляций $\Delta C(V_g)$ представляет более сложную задачу, чем из анализа осцилляций $C(H)$.

увеличивается почти вдвое, достигая при $n_s = 4 \cdot 10^{12} \text{ см}^{-2}$ значений ~ 40 и 20 мэВ соответственно для 0-й и 1-й подзон. Отношение $\Delta E/E_F$, однако, от концентрации и номера подзоны фактически не зависит, составляя $\Delta E/E_F = (0.30 \pm 0.02)$, что заметно выше, чем дают УР приближение ($\Delta E/E_F = 0.13$) и анализ данных [7] для $\text{Hg}_{1-x}\text{Cd}_x\text{Te}$ ($\Delta E/E_F \approx 0.17 \pm 0.02$).

Наблюдаемые значения α_s , как и следовало ожидать, заметно меньше соответствующих величин для $\text{Hg}_{1-x}\text{Cd}_x\text{Te}$ с $|\epsilon_g| < 0.1 \text{ эВ}$ [7] и остаются на порядок выше имеющихся оценок для широкозонных материалов [8, 9]. Некоторый рост α_s с концентрацией n_s не превосходит, вообще говоря, экспериментальной погрешности, и в этом отношении поведение α_s в HgTe аналогично тому, что имеет место в приповерхностных слоях узкозелевого $\text{Hg}_{1-x}\text{Cd}_x\text{Te}$. Как показано в [7], отсутствие вариаций α_s с n_s находит объяснение в предположении, что вклад в формирование $\alpha_s \sim \langle F_s \rangle / m_s^2$ действующего на электроны эффективного поля $\langle F \rangle$ области пространственного заряда полупроводника доминирует над вкладом поля области границы раздела. В этом случае возрастание эффективной массы $m_s \sim n_s^{1/2}$ с ростом n_s компенсируется ростом $\langle F \rangle \sim F(0) \sim n_s$, [$F(0)$ — поле в полупроводнике при $z=0$]. В исследованных инверсионных слоях HgTe изменения m_s в том же диапазоне n_s , а следовательно, и $F(0)$ существенно меньше [зависимость $m_s(n_s)$ неплохо аппроксимируется степенной с показателем 0.25—0.30], чем в $\text{Hg}_{1-x}\text{Cd}_x\text{Te}$, и отсутствие заметных изменений параметра α_s при изменении n_s может быть связано либо с существенным влиянием вклада от области границы раздела, либо с деформацией при изменении n_s волновых функций $\psi_s(z)$, приводящей к нарушению пропорциональности между $\langle F_s \rangle = \int \psi_s^* F(z) \psi_s dz$ и $F(0)$. Численные оценки с использованием квазиклассических волновых функций показывают, что и в HgTe отношение $\langle F_s \rangle / m_s^2$ в интервале $n_s < 3 \cdot 10^{12} \text{ см}^{-2}$ не зависит существенно от глубины приповерхностной квантовой ямы, и, следовательно, параметр СОВ α_s , как и в $\text{Hg}_{1-x}\text{Cd}_x\text{Te}$, определяется, по-видимому, полем инверсионного слоя.

Список литературы

- [1] Nicholas R. J., Nasir F., Singleton J. // J. Cryst. Growth. 1988. V. 86. P. 656—666.
- [2] Mosser V., Sizmann R., Koch F., Ziegler J., Maier H. // Semicond. Sci. Techn. 1988. V. 3. P. 808—812.
- [3] Радацев В. Ф., Дерябина Т. И., Зверев Л. П. и др. // ЖЭТФ. 1985. Т. 88. В. 6. С. 2088—2107.
- [4] Радацев В. Ф. // ФТП. 1988. Т. 22. В. 10. С. 1796—1802.
- [5] Slinkman J., Zhang A., Doezeema R. E. // Phys. Rev. B. 1989. V. 39. P. 1251—1254.
- [6] Радацев В. Ф. // Письма ЖЭТФ. 1987. Т. 46. В. 4. С. 157—159.
- [7] Радацев В. Ф. // ЖЭТФ. 1989. Т. 96. В. 5. С. 1793—1800.
- [8] Бычков Ю. А., Рашба Э. И. // Письма ЖЭТФ. 1984. Т. 39. В. 2. С. 66—69.
- [9] Дорожкин С. И., Ольшанский Е. Б. // Письма ЖЭТФ. 1987. Т. 46. В. 10. С. 399—402.

Уральский государственный университет
им. А. М. Горького
Свердловск

Получена 9.01.1990
Принята к печати 21.02.1990